

式(18)と式(20)を式(1)上段の分割行に代入すると、次式が得られる。

$$\begin{aligned} & [\bar{M}_{aa} + M_{ao}G_o]\{\ddot{u}_a\} + [\bar{K}_{aa} + K_{ao}G_o]\{u_a\} - [K_{ao}K_{oo}^{-1}][M_{oa} + M_{oo}G_o]\{\ddot{u}_a\} \\ & = \{\bar{P}_a\} - [K_{ao}][K_{oo}^{-1}]\{P_o\} \end{aligned} \quad (21)$$

項を整理すると、式(14)～式(17)と同じ結果が得られる。

上記の縮約手順から、Guyan 変換の特長がわかる。

- ・近似が導入されるのは加速度成分のみである（式(18)）。
- ・縮約した系の剛性成分は厳密な内容である。
- ・式(14)及び式(20)で定義される内部変位はほとんど等しい。

(2) OpenFOAM

解析コード：OpenFOAM

項目	コード名
使用目的	流体解析によるスロッシング荷重算定
開発機関	OpenCFD Ltd
開発時期	2004年
使用したバージョン	2.3, 4.1
コードの概要	<p>OpenFOAMは、偏微分方程式を数値的に解くためのライブラリとソルバ一群からなるオープンソースコードである。特に流体計算のためのソルバーが充実しており、汎用流体解析コードとして使用されることが多い。基礎式は有限体積法で離散化されており各種物理量の保存特性が良く、数値安定性に優れている。加えて、非構造格子の採用による複雑境界の取り扱いが可能であることから、実用解析に向いている。世界規模のユーザーズコミュニティーがあり、多様な科学的・工学的分野での使用実績がある。</p>
検証 (Verification) 及び 妥当性確認 (Validation)	<p>本コードは機械、土木、建築及び気象を含めたさまざまな分野・業界で使用されている。</p> <p><b>【検証(Verification)】</b></p> <p>本コードの検証は以下のとおり実施済みである。</p> <ul style="list-style-type: none"> <li>サプレッションチェンバの模擬試験体による振動試験により算定された有効質量比とOpenFOAMにより算定された有効質量比が一致することを確認している。</li> <li>流体力学分野における典型的な事象について、解析結果が理論解及び実験結果と一致することを確認している。</li> <li>本コードの適用条件について、開発機関から提示された要件を満足していることを確認している。</li> </ul> <p><b>【妥当性確認(Validation)】</b></p> <p>本コードの妥当性確認の内容は以下のとおりである。</p> <ul style="list-style-type: none"> <li>本コードは機械、土木、建築及び気象を含めたさまざまな分野で使用された実績があり、妥当性は十分に確認されている。</li> <li>開発機関が提示するマニュアルにより、今回のスロッシング解析に、本コードが適用できることを確認している。</li> <li>検証の体系と今回の解析体系とが同等であることから、検証の結果をもって、解析の妥当性が確認できる。</li> </ul>

## 1. 概要

OpenFOAM は、偏微分方程式を数値的に解くためのライブラリとソルバ一群からなるオープンソースコードである。特に流体計算のためのソルバーが充実しており、汎用流体解析コードとして使用されることが多い。基礎式は有限体積法で離散化されており各種物理量の保存特性が良く、数値安定性に優れている。加えて、非構造格子の採用による複雑境界の取り扱いが可能であることから、実用解析に向いている。世界規模のユーザーズコミュニティーがあり、多様な科学的・工学的分野での使用実績がある。

## 2. 本コードの特徴

- (1) 本コードの主な解析機能は、以下のとおり
  - ・非圧縮性・圧縮性流れの定常・非定常解析
  - ・ニュートン・非ニュートン流体の取り扱い
  - ・熱・物質の輸送、化学反応、燃焼、粒子追跡
  - ・単相流、多相流、熱物理的状態変化、自由表面流
  - ・層流・乱流、音響、固体力学、電磁気学
- (2) ソースコードが公開されており、世界規模のユーザー・開発者のコミュニティがある
- (3) ソースコードは、オブジェクト指向で設計されており可読性・保守性に優れている
- (4) 非構造格子の採用による複雑境界の表現と格子細分化が可能である
- (5) MPI (Message Passing Interface) による並列処理に対応している

## 3. 解析理論

複数ある OpenFOAM ソルバーのうち、VOF (Volume Of Fluid) 法による非圧縮性の気液二相流ソルバーである interFoam の解析理論について述べる。

基礎式はアンサンブル平均を施した Navier-Stokes 方程式であり、次のように連続の式（質量保存式）(1) と運動量保存式(2) からなる。

$$\nabla \cdot U = 0 \quad (1)$$

$$\frac{\partial \rho U}{\partial t} + \nabla \cdot (\rho U U) = -\nabla p + \nabla \cdot (2\mu S + \tau) + \rho g + \rho f \quad (2)$$

ここで、 $t$  は時間、 $U$ 、 $p$ 、 $\rho$ 、 $\mu$  はそれぞれ流体の速度ベクトル、圧力、密度、粘性係数を意味し、 $S$  と  $\tau$  はそれぞれ歪み速度テンソルとレイノルズ応力を表す。 $g$  は重力加速度ベクトルであり、 $f$  は体積力としての外力である。また、気液界面を追跡するために、VOF 値と呼ばれる液相の体積割合  $\alpha$  の輸送方程式を考える。

$$\frac{\partial \alpha}{\partial t} + \nabla \cdot (\alpha U) = 0 \quad (3)$$

そして、流体の密度と粘性係数は VOF 値を用いてそれぞれ次式で与える。

$$\rho = \alpha \rho_l + (1 - \alpha) \rho_g \quad (4)$$

$$\mu = \alpha \mu_l + (1 - \alpha) \mu_g \quad (5)$$

ただし、下付き添え字の  $l$ ,  $g$  はそれぞれ液相、気相を意味する。

#### 4. 解析フローチャート

支配方程式である式(1)から式(5)は、コロケート格子を用いた有限体積法で離散化され、数値的に解かれる。流速と圧力の連成手法には非定常解を得るための予測子-修正子手法の一種である PISO 法が用いられる。

気液二相流ソルバー interFoam の計算アルゴリズムを図 2 に示す。

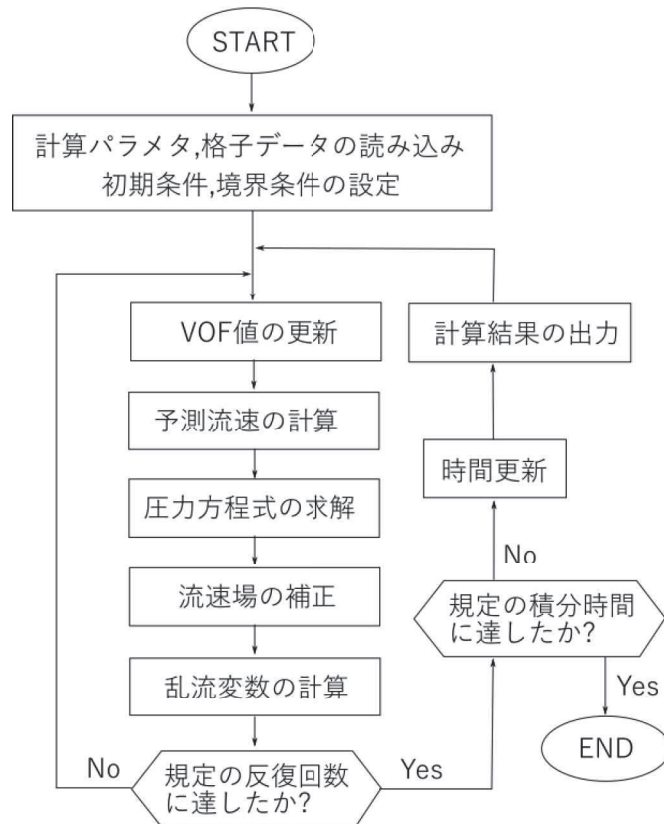


図 2 計算アルゴリズム

### 有効質量の概要

容器内で内容液が自由表面を有する場合、容器の振動方向に対する実際に地震荷重として付加される質量は、全質量とは異なった値となることが知られている。円筒タンクを例に有効質量の概要を説明する。

図 1 のように、直径Dの円筒タンクに液面高さLの水が入っているとする。通常、容器内の水は自由表面を有しており、このタンクに水平方向に単位加速度を与えた場合の側板における動液圧力は、図 2 に示すように自由表面において 0 であり、深さ方向に二次曲線的な分布を生じる。一方、容器内を満水とし自由表面を無くした場合には、水全体が一体となって動くため、側板の動液圧力は高さ方向に一定となる。このように、自由表面を有する場合に側板に作用する地震荷重は、自由表面がない場合（水全体が一体に動く場合）の地震荷重に対して小さくなる。

荷重評価において、自由表面を有する内容液の加速度に対する実際に地震荷重として付加される質量を有効質量という。ここで、水の全質量に対する有効質量の比を有効質量比といふ。

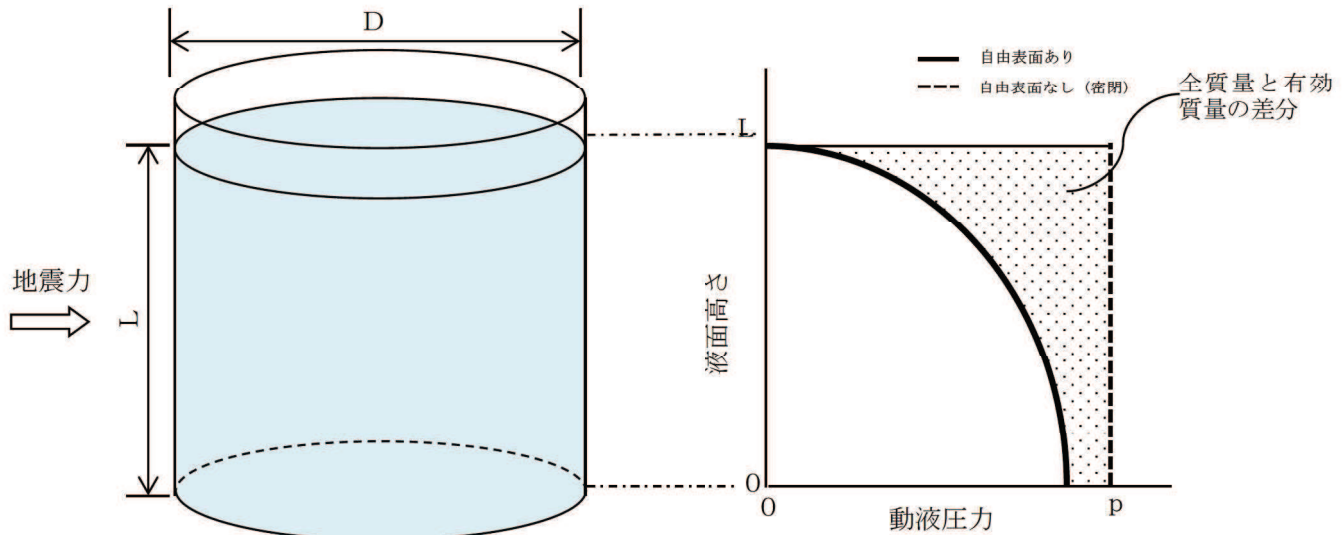


図 1 円筒タンクの内容液  
(イメージ)

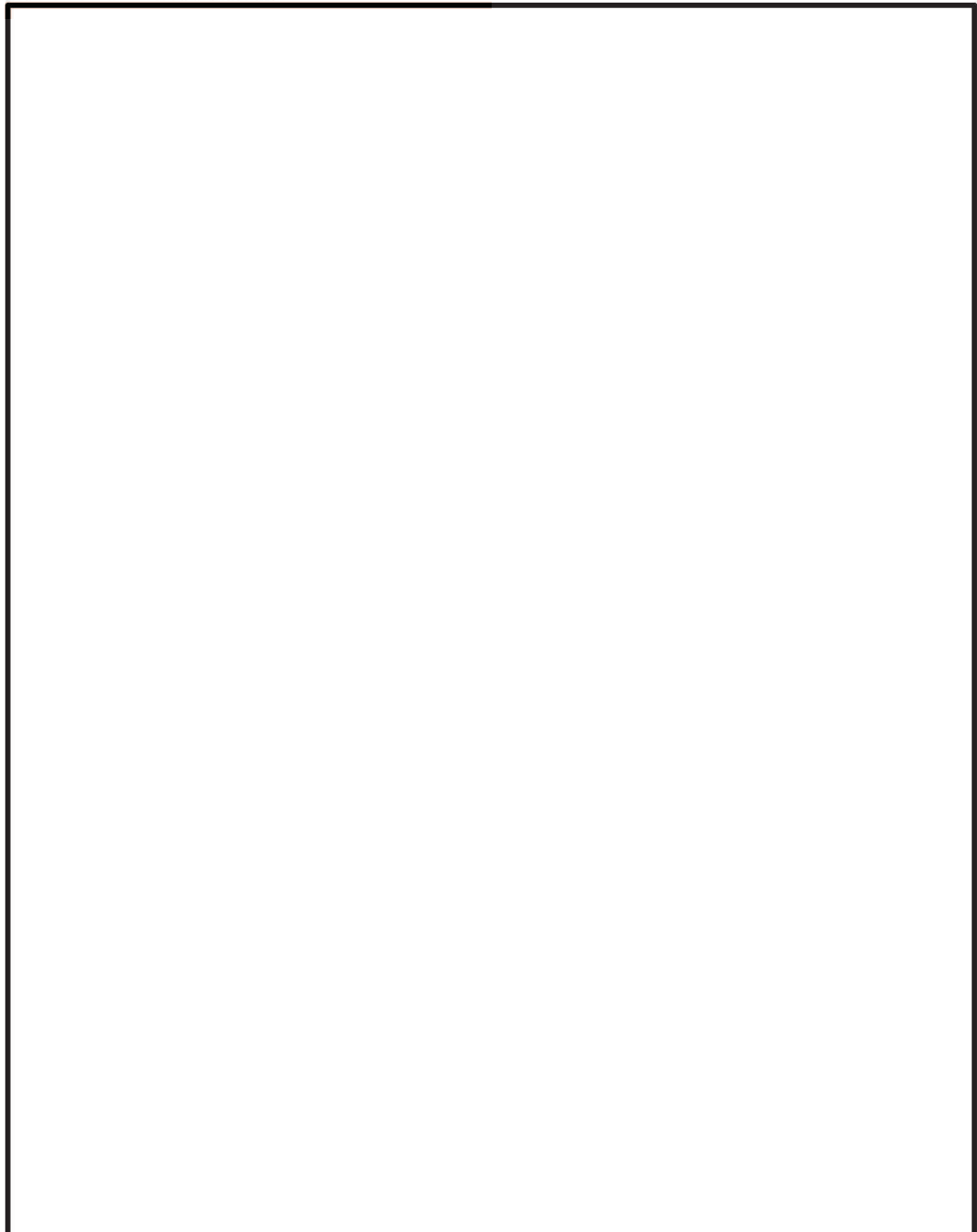
図 2 加速度に対する側板の  
動液圧分布

## 規格類における有効質量の適用例

### 1. 概要

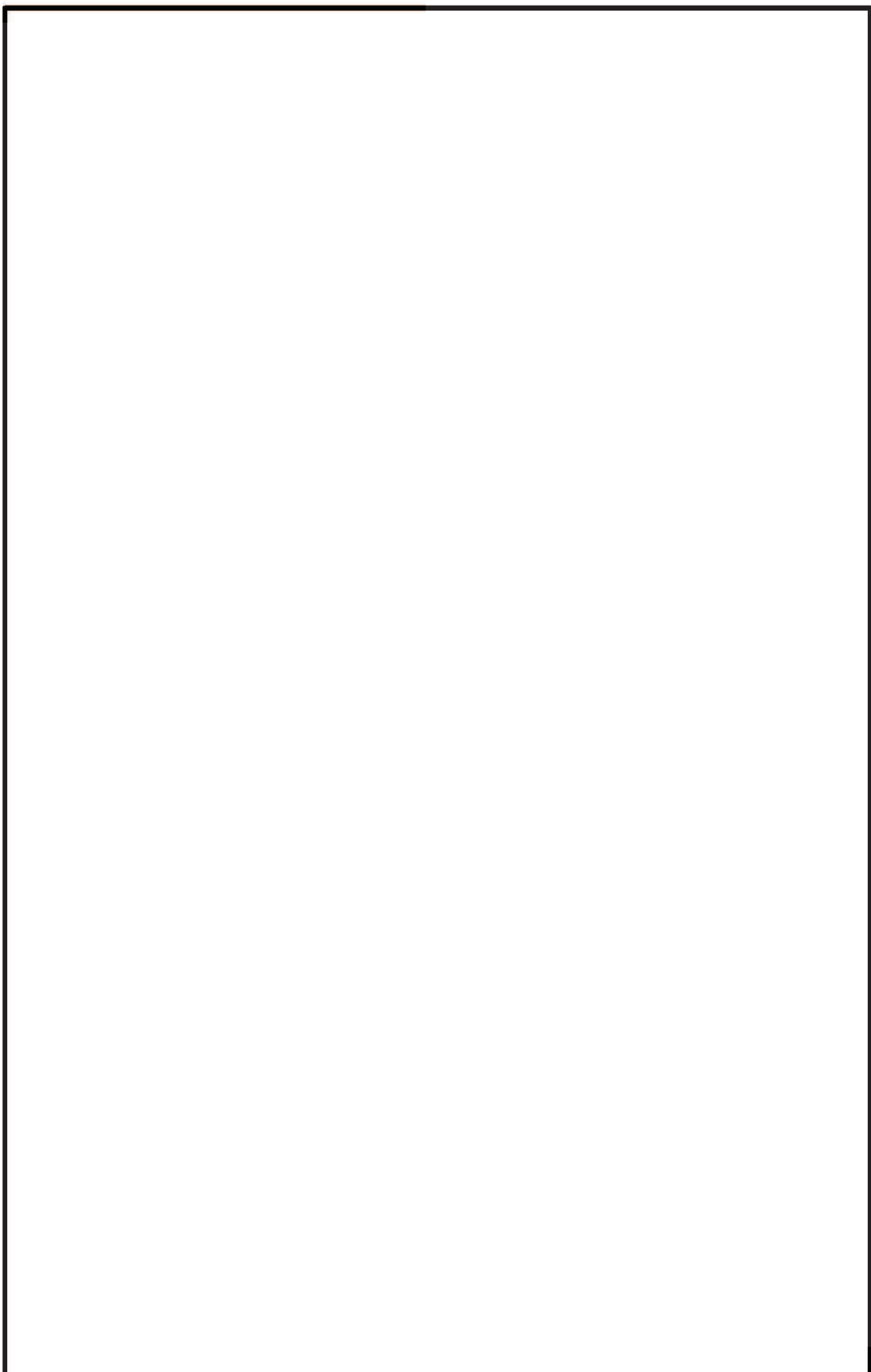
有効質量の考え方は、他産業の耐震設計において一般的に取り入れられている。その一例として「容器構造設計指針・同解説（日本建築学会）」における球形タンク及び円筒タンクの設計への適用例を示す。

(球形タンクへの適用例)



枠囲みの内容は商業機密の観点から公開できません。

(円筒タンクへの適用例)



枠囲みの内容は商業機密の観点から公開できません。

## 地震時におけるトーラス型容器内部水の有効質量に係る研究の概要

### 1. 概要

本研究では、トーラス型容器に対し、内部水の水位が有効質量に及ぼす影響や高加速度入力における有効質量を把握するとともに NASTRAN による有効質量評価の妥当性を確認することを目的としている。そのため、実機の縮小模型による振動試験、汎用流体解析コード OpenFOAM による数値流体計算を実施した。

### 2. 研究計画

#### 2.1 研究時期

平成 26 年度～平成 29 年度

#### 2.2 研究体制

本研究は、下記の体制及び役割分担で実施した。

体制	役割分担
東北電力株式会社	研究の計画策定
中部電力株式会社	研究の実施 振動試験実施状況の確認 試験結果及び解析結果の確認
一般財団法人 電力中央研究所	振動試験の実施 OpenFOAM による有効質量の解析
解析会社	NASTRAN による有効質量の解析

なお、プラントメーカーは、研究内容全体に係るレビュー協力

#### 2.3 研究実施場所

本研究における振動試験は、電力中央研究所の振動台で実施した。

### 3. 振動試験による有効質量評価

#### 3.1 試験体

実機の縮小試験体を製作し振動試験を実施した。試験の状況を図 1 に示す。試験体は実機と同様に 16 個の円筒を円環形に繋いだ形状とし、寸法は実機の約 1/25 となるように、円環の直径 1,484mm、断面の内径 380mm とした。材質は内部水の挙動を確認するため透明のアクリル製とした。試験体の形状及び寸法を図 2 に示す。振動台上には試験体を支持する架台を設け、架台の脚部には水平・鉛直方向の荷重を測定するため、分力計を 90° 間隔で 4 体設置した。なお、別途実施した事前の数値計算により容器や架台には、内容水の挙動や荷重に影響を及ぼすよう

な変形が発生しないことを確認している。

主な計測項目は、振動台上、架台上及び試験体上の加速度、架台を含めた試験体の荷重、架台の変位である。表 1 に計測項目、図 3 に計器配置を示す。

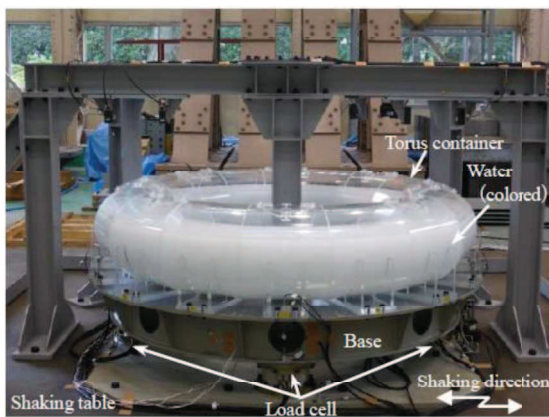


図 1 試験装置

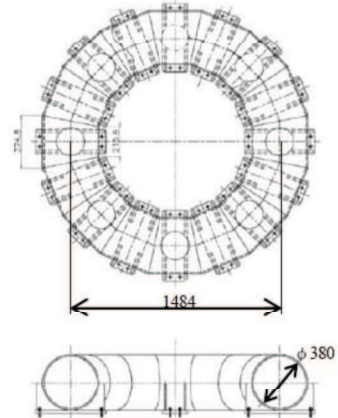


図 2 トーラス型容器

表 1 計測項目

Items	Instruments	Placement
Load	Load cell	Under the base, 90°pitch
Acceleration	Accelerometer	Shaking table, Base, Torus container, etc.
Displacement	Displacement sensor	Base, 0° and 90°

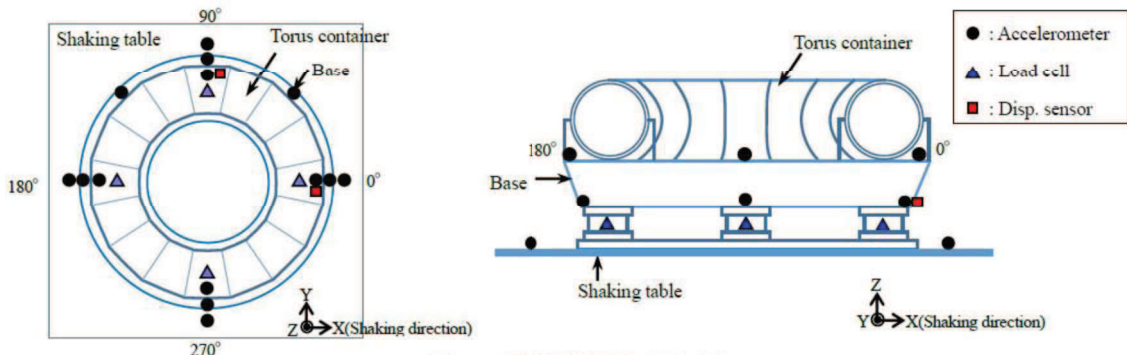


図 3 計測機器設置位置

### 3.2 試験条件

加振波は、長周期成分及び短周期成分とも加速度レベルが大きい地震波 A 及び短周期成分が相対的に卓越し長周期成分が小さい地震波 B の 2 種類の人工地震波を用いる。図 4 及び図 5 に各地震波の時刻歴波形及び加速度応答スペクトル（減衰 0.5%）を示す。試験では図 4 及び図 5 の地震波の 0.5 倍、1.0 倍及び 1.5 倍で加振を行った。加振は水平 1 方向とする。水位は、内部水なし及び低水位（水位 164mm 又は 146mm）、中水位（水位 218mm 又は 203mm）、高水位（水位 273mm 又は 259mm）及び高高水位（水位 315mm 又は 325mm）の 5 ケースとする。表 2 に試験ケースを示す。

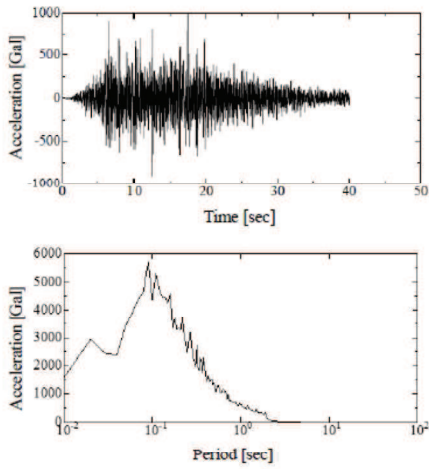


図 4 入力地震波 A

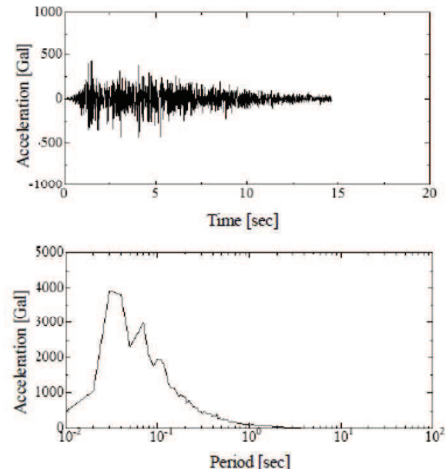


図 5 入力地震波 B

表 2 試験条件

Input wave	Input magnification	Water level <sup>*1</sup>	Input wave	Input magnification	Water level <sup>*1</sup>
Seismic wave-A	$\times 0.5$	Empty	Seismic wave-B	$\times 0.5$	Empty
		Low(164mm)			Low(146mm)
		Middle(218mm)			Middle(203mm)
		High(273mm)			High(259mm)
		Very high(315mm)			Very high(325mm)

\*1 Water level from the bottom of the torus container.

### 3.3 試験結果に基づく有効質量評価

地震波 A, 入力倍率 1.0 倍, 低水位の試験ケースにおいて計測された荷重の時刻歴波形を図 6 に, 時々刻々の荷重を架台上の計測加速度, すなわち試験体への入力加速度との関係でプロットしたものを図 7 に示す。

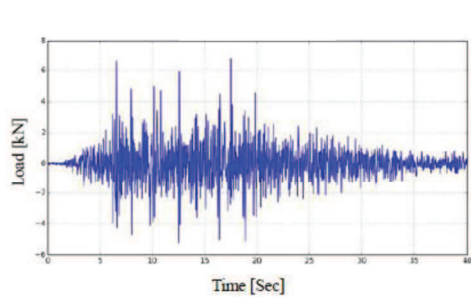


図 6 計測荷重の時刻歴波形

(地震波 A  $\times 1.0$ , 低水位)

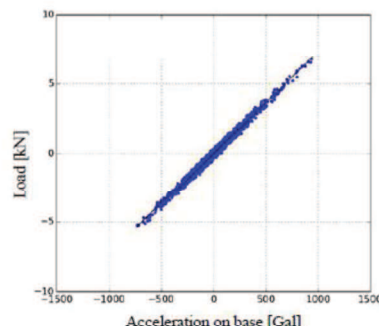


図 7 計測荷重と架台上の計測加速度の関係

(地震波 A  $\times 1.0$ , 低水位)

一般的にスロッシングの固有振動数 (0.24~0.39Hz) は低く, 本研究で対象とするような容器支持部に作用する地震荷重への寄与は小さいと考えられるため, 内容水荷重  $F$  [N] と架台上の計測加速度  $\ddot{x}$  [ $m/s^2$ ] との関係は式(1)で表される。

$$F = (M + M_E)\ddot{x} \quad (1)$$

ここに,  $M[\text{kg}]$  は架台を含む容器の質量  $M_E[\text{kg}]$  は水の有効質量である。式(1)のとおり, 質量は加速度に対する荷重の比として表されることから, 図 7 に示す回帰直線の傾きが架台, 容器及び有効質量の総和となる。従って, 回帰曲線の傾きから架台及び容器の総質量を引いたものが水の有効質量となり, 水の全質量に対する比として有効質量比が算出できる。ただし, 本研究では, 内部水無しの条件における試験結果を用いて, 上記と同様の方法で式(1)より架台及び容器の総質量を算出している。

全試験ケースで得られた水の有効質量比を表 3 に示す。なお, 表 3 には 2Hz ハイパスフィルターによりスロッシング成分をカットした結果も併せて示す。入力倍率による有効質量比の差は, 水位変化による差に比べて小さいことを確認した。また, スロッシング成分除去前後で有効質量比はほぼ同じ値であり, 上述のように地震波 A 及び B に対してはスロッシングが有効質量比に与える影響は無視できるほど小さいことを確認した。

表 3 振動試験から得られた水の有効質量比

Input wave	Water level <sup>*1</sup>	Non-filtered			2Hz High-pass filtered <sup>*1</sup>		
		× 0.5	× 1.0	× 1.5	× 0.5	× 1.0	× 1.5
Seismic wave-A	Low(164mm)	0.14	0.16	0.17	0.14	0.16	0.17
	Middle(218mm)	0.21	0.22	0.23	0.21	0.23	0.23
	High(273mm)	0.30	0.31	0.31	0.30	0.31	0.31
	Very high(315mm)	0.38	0.39	0.40	0.38	0.39	0.40
Seismic wave-B	Low(146mm)	0.14	0.12	0.14	0.14	0.12	0.14
	Middle(203mm)	0.20	0.21	0.21	0.20	0.21	0.21
	High(259mm)	0.28	0.28	0.28	0.28	0.28	0.29
	Very high(325mm)	0.41	0.42	0.41	0.41	0.42	0.41

\*1 High-pass filtered 2Hz to remove the force due to the sloshing

#### 4. NASTRAN による有効質量評価

汎用構造解析ソフト NASTRAN では, 容器形状と水位が既知であれば, 仮想質量法により有効質量が算出できる。そのため, 振動試験や煩雑な数値計算を実施することなく, 式(1)より効率的に容器に作用する地震荷重を推定することができる。本研究では, 振動試験の各条件に対し, NASTRAN の仮想質量法により有効質量比を算出し, 実験結果と比較し, その妥当性を検証する。なお, 本方法は流体を非圧縮性のポテンシャル流れと仮定することにより構造物に接する流体の振動質量を求める方法であり, 自由表面の重力影響は考慮されない。解析モデルを図 8 に, 解析結果を有効質量比として表 4 に整理する。

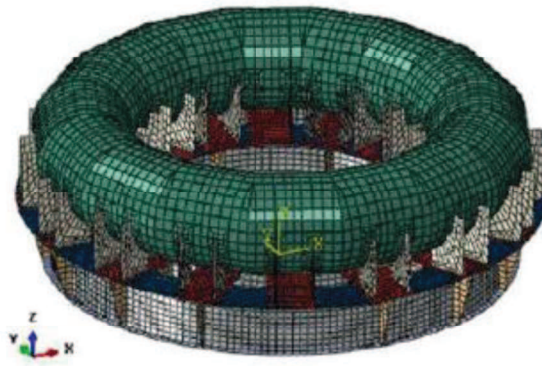


図 8 構造解析モデル

## 5. OpenFOAM による有効質量評価

前章で示した NASTRAN では、流体を仮想質量として考慮するものであり、スロッシング等の流体の運動は考慮されない。そのため、本章では、オープンソースソフトウェア OpenFOAM による数値流体計算により、流体の運動を考慮した上で、有効質量を算出する。計算に用いる入力波は、振動試験における架台上の計測加速度時刻歴とし、水位は代表として低水位及び高水位とした。なお、有効質量の算出方法は、振動試験結果の整理と同様の方法としている。OpenFOAM による解析結果を有効質量比として表 4 に整理する。

## 6. 妥当性検証

縮小試験体による振動試験、NASTRAN 及び OpenFOAM のそれぞれで得られた有効質量比を表 4 及び図 9 に整理する。NASTRAN による有効質量比は、いずれの水位においても振動試験や OpenFOAM の結果とよく一致しており、NASTRAN により算出される有効質量は妥当であることが確認された。さらに、水位の増加に伴って有効質量比が増加する傾向を確認した。

表 4 トーラス型容器の水の有効質量比

Input wave	Water level <sup>*1</sup>	Shaking table test <sup>*2</sup>	Structural analysis (NASTRAN)	Fluid analysis (OpenFOAM)
Seismic wave-A	Low(164mm)	0.16	0.17	0.17
	Middle(218mm)	0.22	0.24	
	High(273mm)	0.31	0.31	0.31
	Very high(315mm)	0.39	0.39	
Seismic wave-B	Low(146mm)	0.12	0.15	0.15
	Middle(203mm)	0.21	0.22	
	High(259mm)	0.28	0.30	0.28
	Very high(325mm)	0.42	0.41	

\*1 Water level from the bottom of the torus container.

\*2 Input wave magnification 1.0

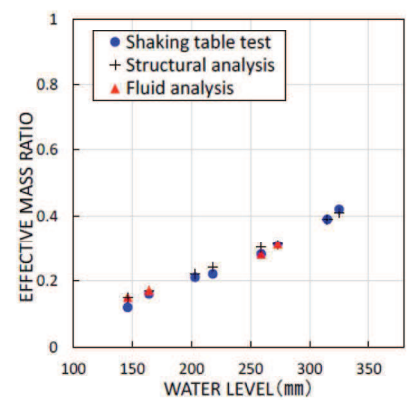


図 9 各水位における有効質量比

## 7. 結論

トーラス型容器に対し、内部水の水位が有効質量に及ぼす影響や高加速度入力に対する有効質量の把握を目的に、振動試験及び汎用構造解析ソフト NASTRAN 並びにオープンソースソフトウェア OpenFOAM により有効質量を評価し比較を行った。その結果、水位に対する有効質量比の関係が確認された。また、NASTRAN による有効質量算出の妥当性が確認できた。

## 8. 学会発表実績

本研究結果については、日本機械学会 2016 年度年次大会にて学会発表している。なお、本参考資料の 3.～7. については、以下の論文データを引用したものである。

地震時におけるトーラス型容器内部水の有効質量の評価、竹内 正孝、尾西 重信、飯田 純、熊谷 信昭、豊田 幸宏、高畠 大輔、永坂 英明、日本機械学会 2016 年度年次大会講演論文集, No16-1

## 有効質量比に対するスロッシング影響

### 1. 概要

有効質量比に対するスロッシング影響の有無を確認するため、振動試験で得られた荷重時刻歴（スロッシング周期成分を含む）及びスロッシング周期成分を取り除いた荷重時刻歴に対する有効質量比を算定し、比較・検討した。

### 2. 検討内容

試験体のスロッシング周期は、固有値の解析結果及び正弦波掃引試験により、1.3Hz～1.8Hz（試験体内部の水位により異なる）である。このため、振動試験で得られた荷重時刻歴に対して、2Hzのハイパスフィルター処理を行い、スロッシング周期成分を取り除いた荷重時刻歴を求め、別紙1 2.2.4項の方法にて、有効質量比を算定した。

また、各水位条件についての有効質量比に対するスロッシングの影響を検討した。

### 3. 検討結果

スロッシング周期成分有り及びスロッシング周期成分無しの荷重時刻歴に対する加速度と荷重の関係を図1及び有効質量比の比較結果を表1に示す。

各水位条件について、スロッシング周期成分有り及びスロッシング周期成分無しの有効質量比に違いはなく、有効質量比に対するスロッシングの影響はほぼない。

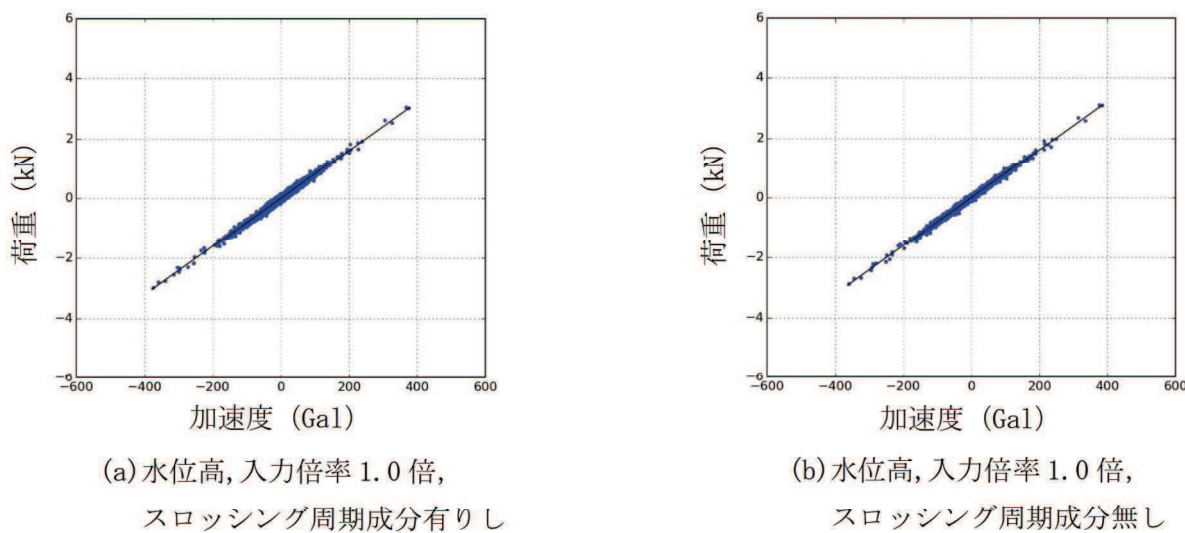


図1 荷重と加速度の関係

表1 有効質量比の比較結果

水位	振動試験	
	スロッキング周期成分有り	スロッキング周期成分無し (2Hz ハイパスフィルタ)
低(164mm)	0.12	0.12
中(218mm)	0.21	0.21
高(273mm)	0.28	0.28
高高(315mm)	0.42	0.42

## 振動試験の有効質量比

振動試験は同条件で3回以上の試験を実施している。表1に振動試験の全試験回における有効質量比を示す。同条件での有効質量比について、ばらつきはほとんどなく、高い再現性があることを確認した。

表1 振動試験の全試験回における有効質量比

水位	入力 倍率	試験回				平均	標準 偏差
		1回目	2回目	3回目	4回目		
低	0.5倍	0.1367	0.1494	0.1469	0.1353	0.1421	0.0061
	1.0倍	0.1554	0.1014	0.1187	0.0940	0.1174	0.0237
	1.5倍	0.1447	0.1431	0.1118	0.1429	0.1356	0.0138
中	0.5倍	0.2018	0.1902	0.1947	0.2021	0.1972	0.0050
	1.0倍	0.2103	0.2155	0.1973	-	0.2077	0.0077
	1.5倍	0.2124	0.2179	0.2045	0.2010	0.2090	0.0066
高	0.5倍	0.2877	0.2852	0.2812	-	0.2847	0.0027
	1.0倍	0.2815	0.2823	0.2852	0.2845	0.2834	0.0015
	1.5倍	0.2859	0.2865	0.2818	0.2918	0.2865	0.0035
高高	0.5倍	0.4030	0.4075	0.4098	0.4070	0.4068	0.0025
	1.0倍	0.4165	0.4171	0.4236	-	0.4191	0.0032
	1.5倍	0.4113	0.4125	0.4201	0.4093	0.4133	0.0041

## 有効質量比に対する入力地震動の影響

### 1. 概要

サプレッションチェンバの地震荷重算出に当たり、サプレッションチェンバの内部水の有効質量を NASTRAN により算出することの妥当性を検証するため、実機を縮小模擬した試験体を用いた振動試験を実施しており、両者の有効質量比が同等であることを確認している。

本資料では、振動試験に用いた入力地震動に対して、加速度振幅及び周期特性の違いによる有効質量への影響を考察する。

### 2. 振動試験の入力地震動

振動台への入力波は、別紙 1 2.2.3 項のとおり、女川 2 号機のサプレッションチェンバ設置床における基準地震動 S s 相当<sup>\*</sup>の応答加速度時刻歴波を用いて、試験体と実機の相似則で時間軸を圧縮したものであり、振動台の加振限界振動数以上の成分をフィルタ処理したものである。

また、振動試験では、上記の入力波を 0.5 倍、1.0 倍、1.5 倍した加速度時刻歴波形を用いて試験を行い、その試験結果から有効質量比を算出している。

注記 \* : 平成 25 年 12 月設置変更許可申請時の基準地震動 S s (S s - 2)

### 3. 有効質量比に対する入力地震動の影響検討

#### 3.1 加速度振幅の違い

女川 2 号機の基準地震動 S s 相当の入力波に対して、入力倍率を変化させて振動試験を実施した結果、各水位条件での有効質量比は、表 1 に示すとおり、入力波の入力倍率によらず、ほぼ一致している。

この結果は、振動試験に用いた入力地震動の加速度振幅の違いが有効質量に対して影響がないことを示すものである。

表 1 振動試験から算出した有効質量比（別紙 1 2.2-3 表の再掲）

水位	入力倍率		
	0.5 倍	1.0 倍	1.5 倍
低 (146mm)	0.14	0.12	0.14
中 (203mm)	0.20	0.21	0.21
高 (259mm)	0.28	0.28	0.28
高高 (325mm)	0.41	0.42	0.41

### 3.2 周期特性の違い

振動試験においては、女川 2 号機の基準地震動 S s 相当（入力地震波 B）を入力地震動とした試験に加えて、図 1 に示す周期特性の異なる地震動（入力地震波 A）を用いた試験を実施している（参考資料 5 参照）。

また、振動試験では、女川 2 号機の基準地震動 S s 相当に対する試験と同様、周期特性の異なる地震動（入力地震波 A）の入力倍率を 0.5 倍、1.0 倍、1.5 倍と変化させて、各水位条件に対する振動試験を実施している。

周期特性の異なる地震動（入力地震波 A）に対する振動試験から算出された有効質量比を、女川 2 号機の基準地震動 S s 相当に対する有効質量比と合わせて、表 2 及び図 2 に示す。

振動試験から算出した周期特性の異なる地震動（入力地震波 A）に対する有効質量比は、女川 2 号機の基準地震動 S s 相当と同様、水位増加に伴って増加する傾向があり、入力波の入力倍率によらず、各水位条件でほぼ一致している。

また、女川 2 号機の基準地震動 S s 相当及び周期特性の異なる地震動（入力地震動 A）に対する有効質量比について、水位が近接している条件（低水位、中水位、高水位、高高水位）での有効質量比は、ほぼ同等であることが分かる。これは、有効質量は、入力地震動の周期特性によらず、評価対象とする容器の形状及び容器内の水位に依存していることを示すものと考えられる。

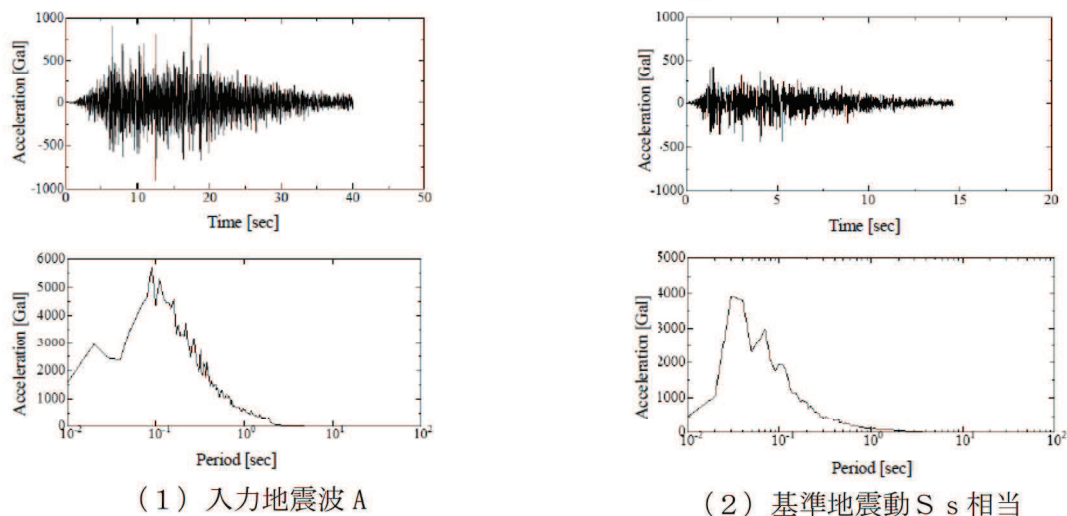


図 1 振動試験に用いた地震動比較

（参考資料 5 図 4, 図 5 の再掲）

表2 入力地震動の加速度振幅及び周期特性の違いによる有効質量への影響  
(参考資料5表3の再掲)

Input wave	Water level <sup>*1</sup>	Non-filtered			2Hz High-pass filtered <sup>*1</sup>		
		×0.5	×1.0	×1.5	×0.5	×1.0	×1.5
Seismic wave-A	Low(164mm)	0.14	0.16	0.17	0.14	0.16	0.17
	Middle(218mm)	0.21	0.22	0.23	0.21	0.23	0.23
	High(273mm)	0.30	0.31	0.31	0.30	0.31	0.31
	Very high(315mm)	0.38	0.39	0.40	0.38	0.39	0.40
Seismic wave-B	Low(146mm)	0.14	0.12	0.14	0.14	0.12	0.14
	Middle(203mm)	0.20	0.21	0.21	0.20	0.21	0.21
	High(259mm)	0.28	0.28	0.28	0.28	0.28	0.29
	Very high(325mm)	0.41	0.42	0.41	0.41	0.42	0.41

\*1 High-pass filtered 2Hz to remove the force due to the sloshing

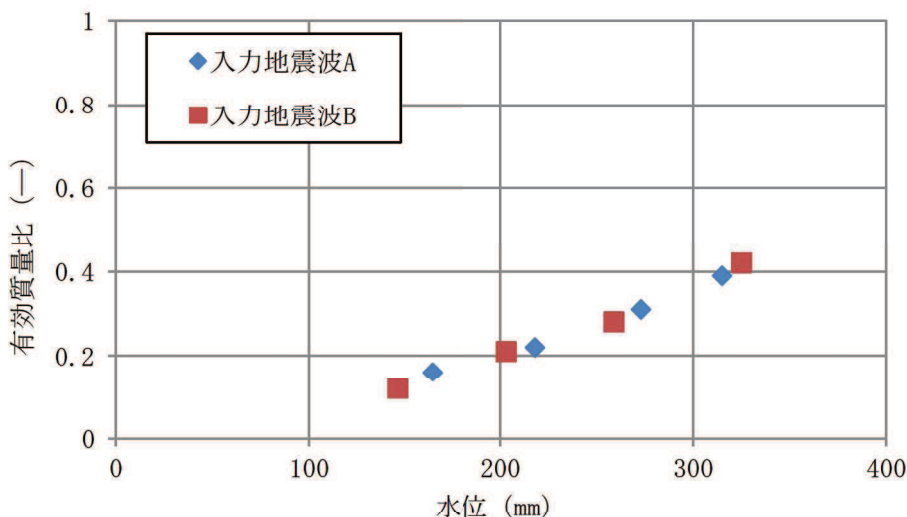


図2 入力地震動の加速度振幅及び周期特性の違いによる有効質量への影響

#### 4. 考察

上記のとおり、振動試験に用いた入力地震動に対する加速度振幅及び周期特性の違いによる有効質量への影響について、今回実施した振動試験結果を用いて検討した結果、入力地震動の加速度振幅及び周期特性の違いによる影響がないことを確認した。

なお、今回の検討結果は、NASTRANにより算出される有効質量が評価対象とする容器形状及び容器内水位を与えられれば、地震動を用いることなく、有効質量を算出できるという特徴とも整合しているものと考えられる。

## サプレッションチェンバ内部水によるスロッシング荷重及び有効質量の影響評価

### 1. スロッシング荷重の影響評価

サプレッションチェンバ内部水によるスロッシング荷重は、サプレッションチェンバの主要な内部構造物を考慮した影響確認用解析モデルを用いて、水平1方向+鉛直方向の地震動を入力した解析結果から算定している。

上記解析条件に対して、地震動による影響、鉛直方向地震動による影響、水平2方向入力による影響及び内部構造物による影響を検討し、スロッシング荷重及び有効質量に与える影響について検討を行う。検討にあたって、有効質量の算定方法、スロッシング荷重の算定方法は、別紙1及び別紙6に記載した方法を用いている。

### 2. 地震動による影響

地震動による影響検討は、地震動の特徴を考慮し、スロッシングの卓越周期帯の応答加速度が大きいS s-F 2、スロッシングの卓越周期帯の応答加速度が大きく、継続時間が長いS s-D 1、及び設備の固有周期帯の応答加速度が大きいS s-D 2を用い、水位条件は、通常運転時及び重大事故等時の水位条件とする。

#### 2.1 影響確認用解析モデル

影響確認用解析モデルを図1に、解析諸元を表1に示す。



図1 解析モデル図

表1 解析諸元

項目	内容
格子数	約140万
格子幅	約0.5cm~45cm

## 2.2 解析条件

解析条件を表 2 に示す。

表 2 解析条件

項目	内容
モデル化範囲	サプレッションチェンバ内
水位	通常運転水位 (H. W. L : O. P. -3, 800) 耐震評価用重大事故等時水位 (真空破壊装置下端水位 : O. P. -1, 514) *1
評価用地震動	基準地震動 Ss (水平方向と鉛直方向) *2 に対する 原子炉建屋 O. P. -8, 100 における建屋床応答
解析コード	OpenFOAM Ver. 4.1(汎用流体解析コード) VOF 法を用いた流体解析
その他	内部構造物のモデル化範囲：強め輪(補強前), ベントヘッダ, ダウンカマ, T-クエンチャ及びその配管, ECCS ストレーナ取付配管
解析条件	気相物性*3 動粘度 : $1.51 \times 10^{-5} \text{ m}^2/\text{s}$ 密度 : $1.205 \text{ kg/m}^3$ 液相物性*3 動粘度 : $1.0038 \times 10^{-6} \text{ m}^2/\text{s}$ 密度 : $998.2 \text{ kg/m}^3$ 境界条件 : 全境界面で不透過滑りなし条件

注記\*1 : 重大事故等時水位よりも高い水位

\*2 : 地震動の特徴を考慮し, スロッシングの卓越周期帯の応答加速度が大きい S s - F 2, スロッシングの卓越周期帯の応答加速度が大きく, 継続時間が長い S s - D 1, 及び設備の固有周期帯の応答加速度が大きい S s - D 2 を用いて検討する。

\*3 : 理科年表 (20°C, 1 気圧の値)

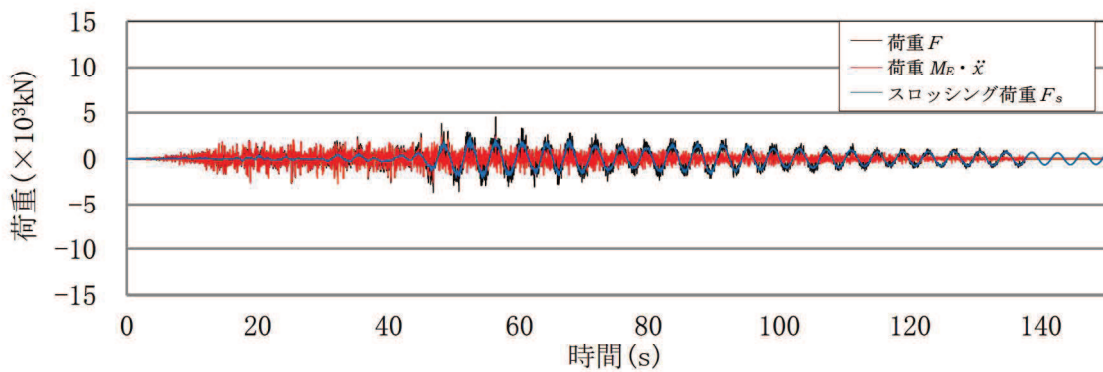
## 2.3 影響評価結果

流体解析で算定した荷重  $F$ 、容器と一体となって振動することによる荷重  $M_E \cdot \ddot{x}$ 、スロッシングによる荷重  $F_s$  の荷重時刻歴を図 2~7 に、スロッシング荷重による最大荷重及び流体解析で算出した荷重により算定した有効質量比を表 3 に、流体解析で算出した荷重  $F$  のフーリエスペクトル (S s-D 1, 通常運転水位及び耐震評価用重大事故等時水位) を図 8~9 に、フーリエスペクトルから求めたスロッシングの卓越周期を表 4 に示す。また、スロッシング解析結果例 (S s-D 1, 耐震評価用重大事故等時水位、最大荷重発生時刻付近 (52 秒時点)) を図 10 に示す。

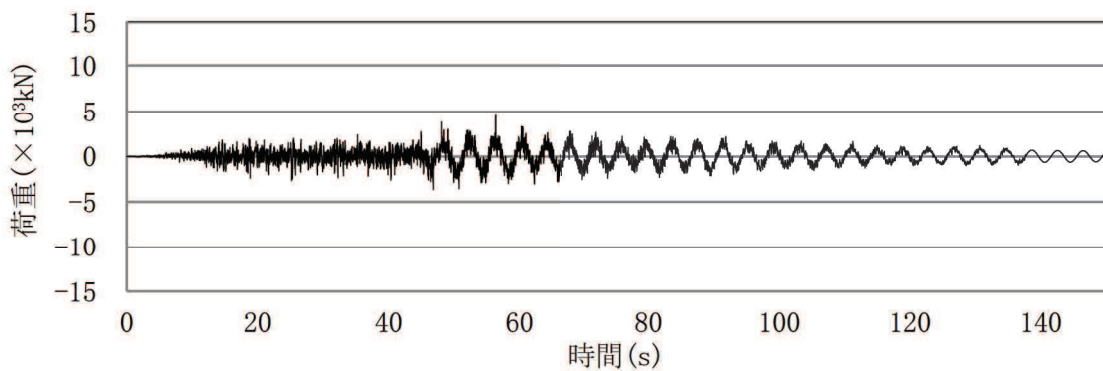
スロッシング荷重は、スロッシングの卓越周期帯の応答加速度が大きく、継続時間が長い S s-D 1 の条件の場合が最大である。

有効質量比は、水位が同条件の場合には、地震動によらず一定である。

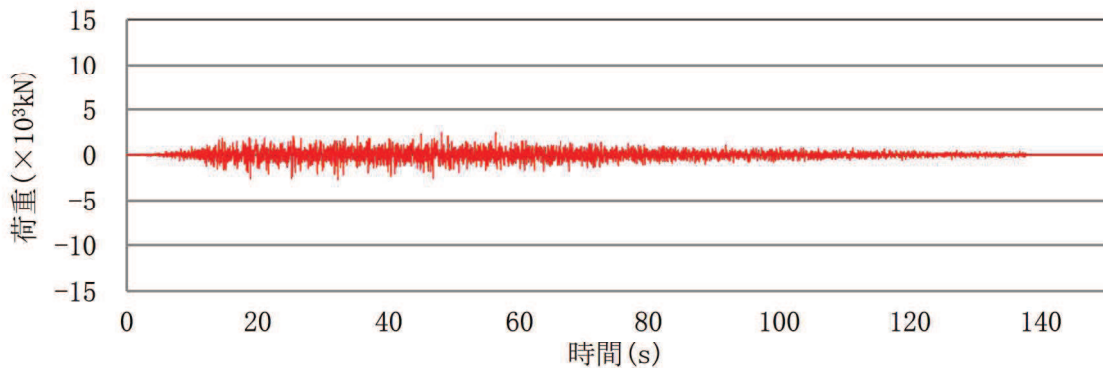
また、サプレッションチェンバの地震荷重に対するスロッシング荷重の割合を表 5 に示す。サプレッションチェンバの地震荷重 ( $9.163 \times 10^7$  N) (耐震評価用重大事故等時水位, S s-F 3)) に対するスロッシングモードによる荷重の最大値 ( $2.91 \times 10^6$  N) (耐震評価用重大事故等時水位, S s-D 1)) の比率は約 3% であり、スロッシングモードによる荷重は小さい。



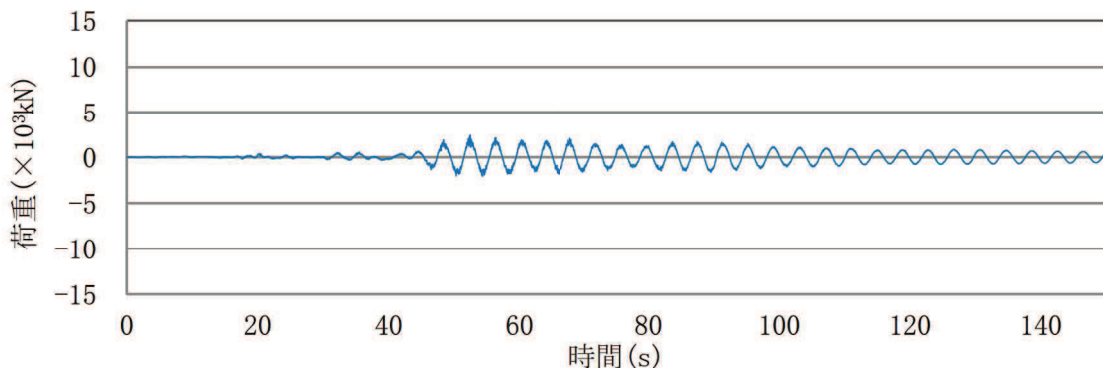
(a) 各荷重の重ねがき



(b) 荷重  $F$

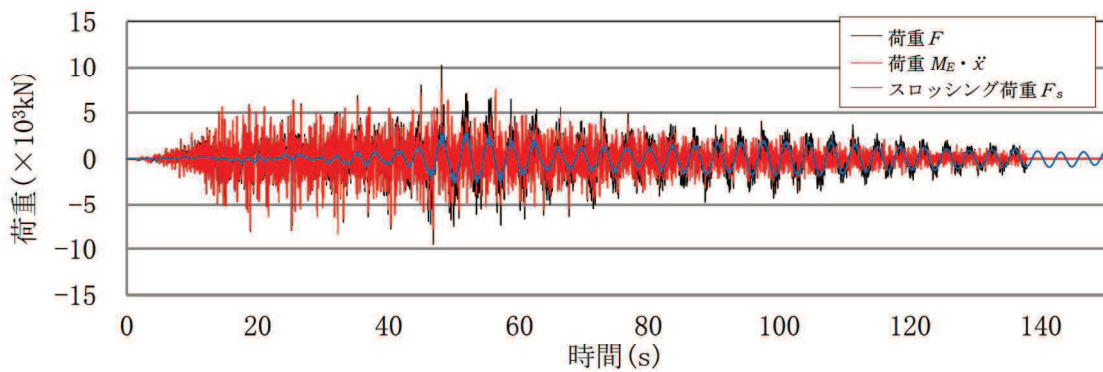


(c) 荷重  $M_E \ddot{x}$

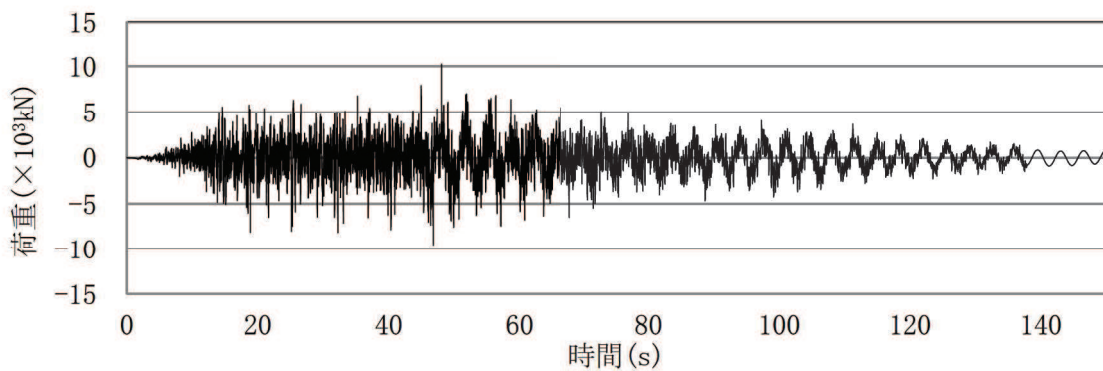


(d) スロッシング荷重  $F_s$

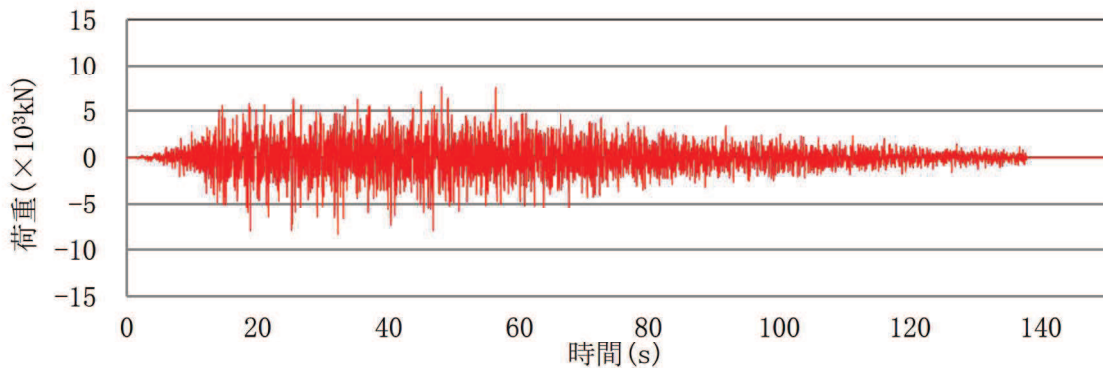
図 2 各荷重時刻歴(S s-D 1, 通常運転水位)



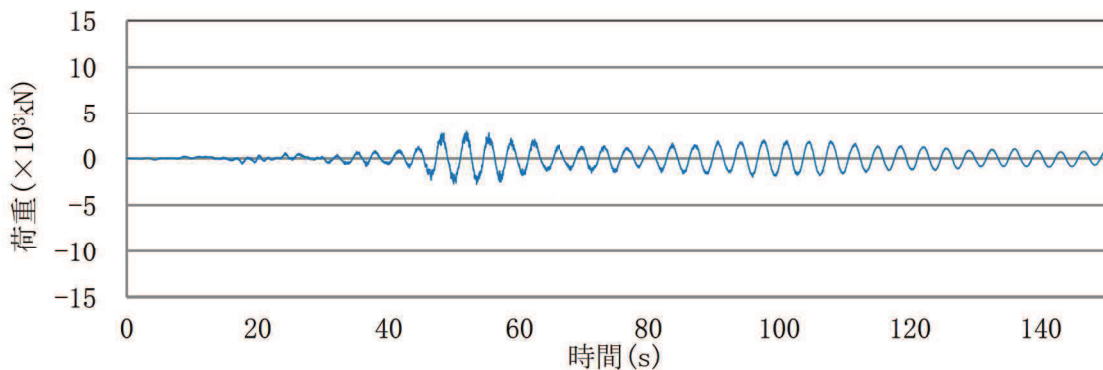
(a) 各荷重の重ねがき



(b) 荷重  $F$

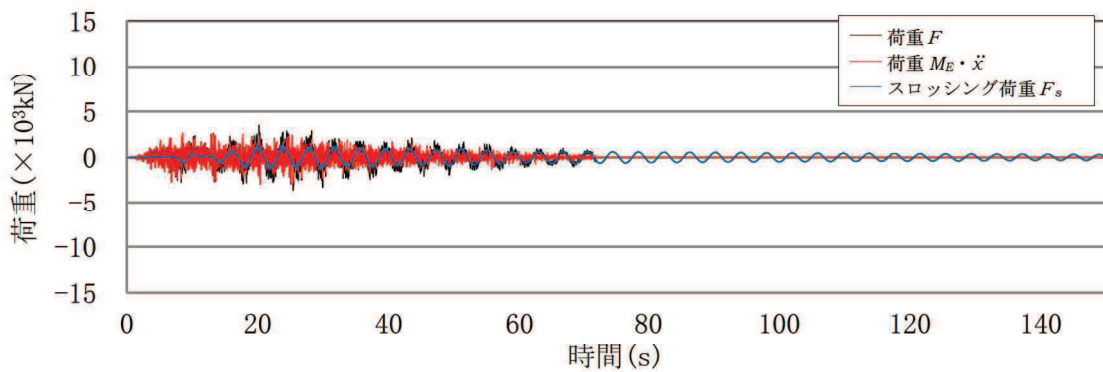


(c) 荷重  $M_E \ddot{x}$

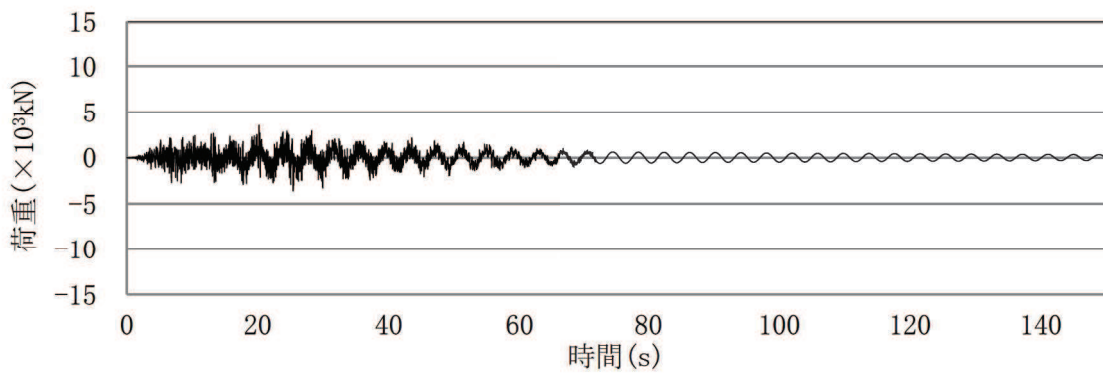


(d) スロッシング荷重  $F_s$

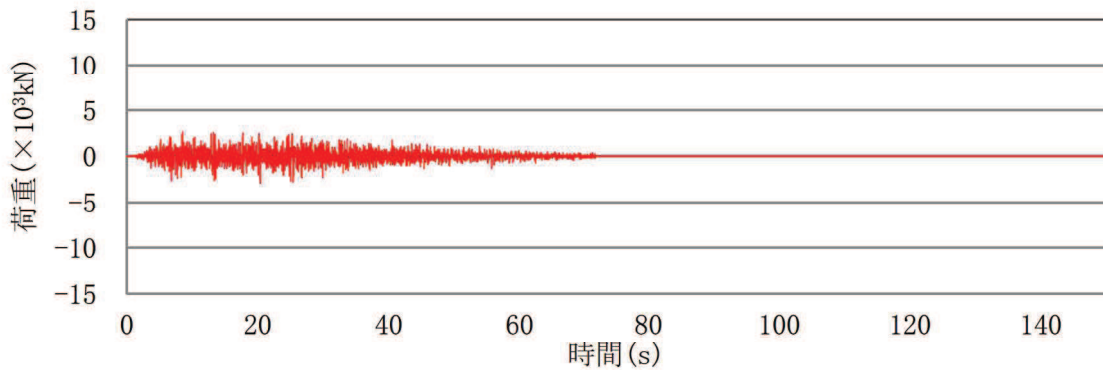
図 3 各荷重時刻歴(S s-D 1, 耐震評価用重大事故等時水位)



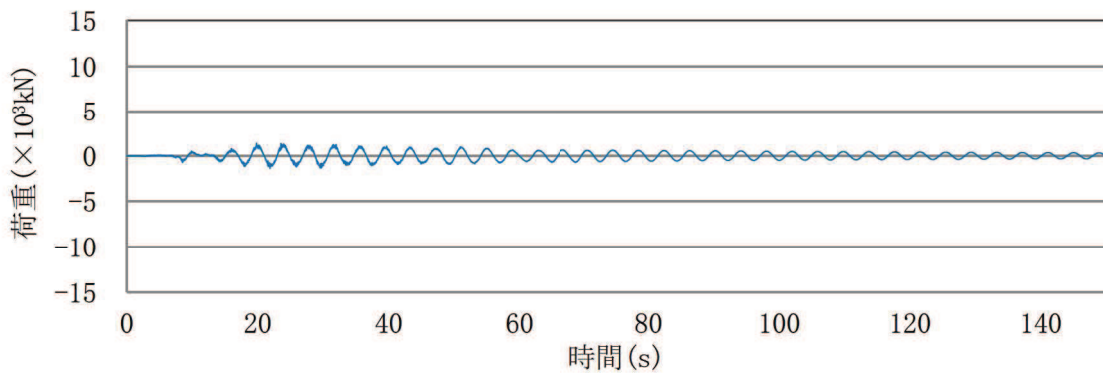
(a) 各荷重の重ねがき



(b) 荷重  $F$

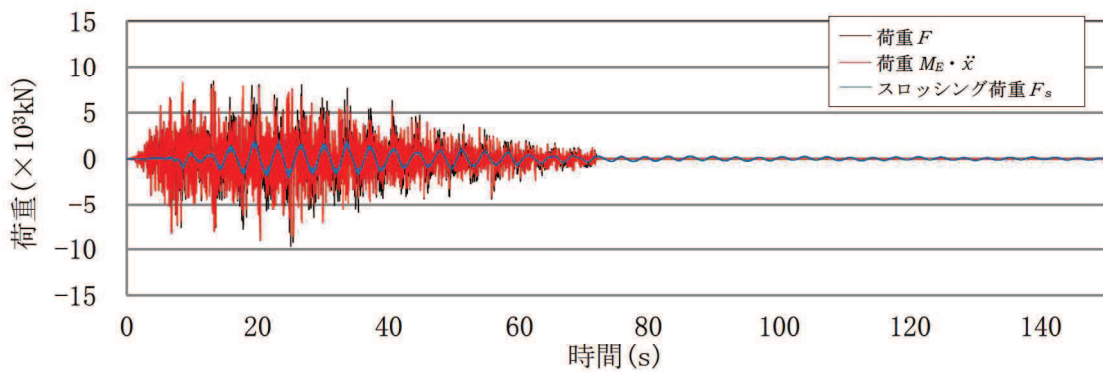


(c) 荷重  $M_E \ddot{x}$

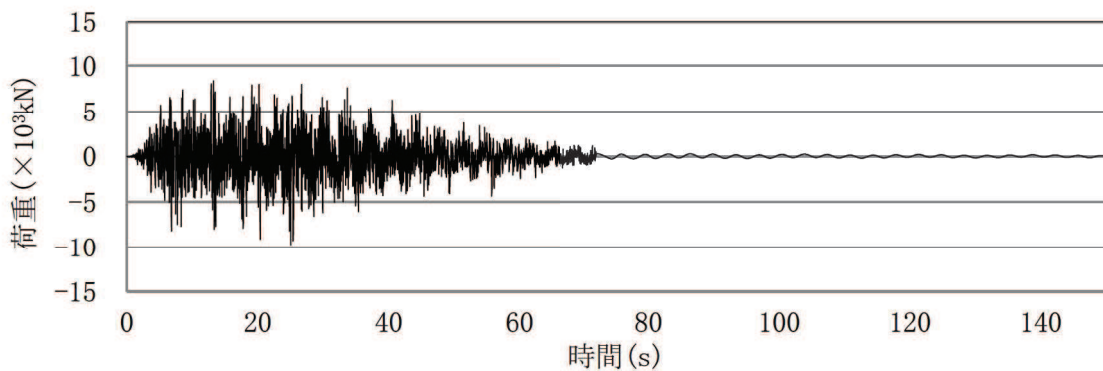


(d) スロッシング荷重  $F_s$

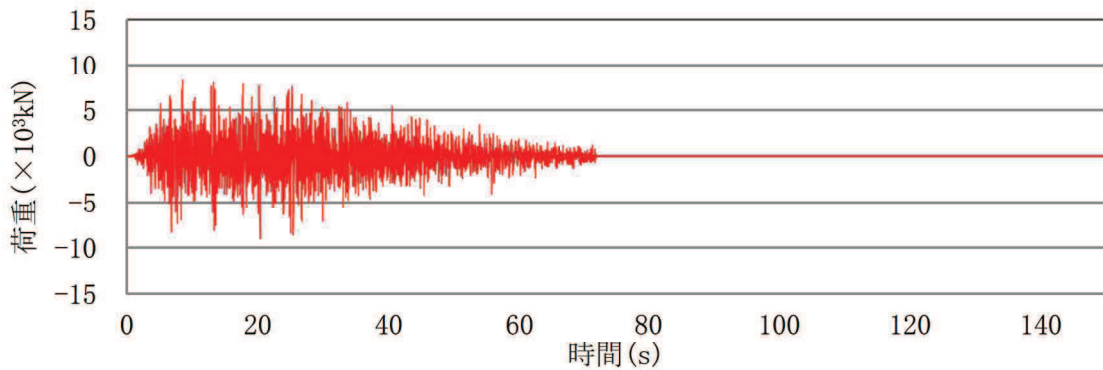
図 4 各荷重時刻歴(S s-D 2, 通常運転水位)



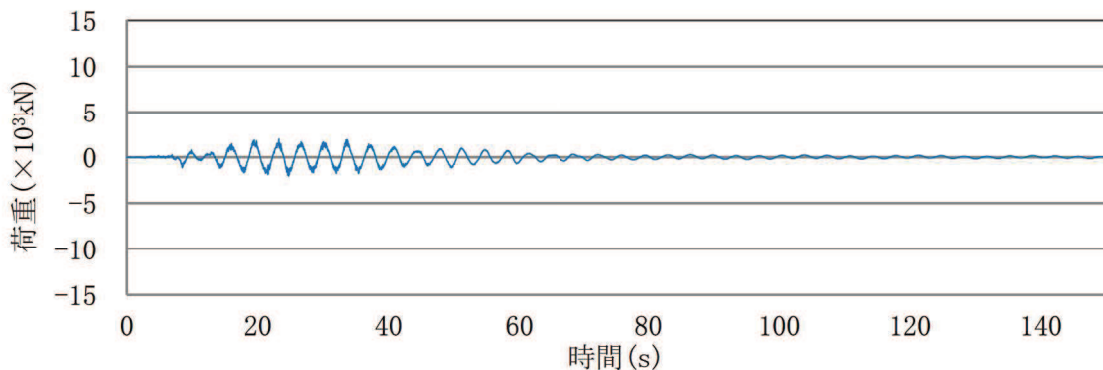
(a) 各荷重の重ねがき



(b) 荷重  $F$



(c) 荷重  $M_E \ddot{x}$



(d) スロッシング荷重  $F_s$

図 5 各荷重時刻歴(S s-D 2, 耐震評価用重大事故等時水位)

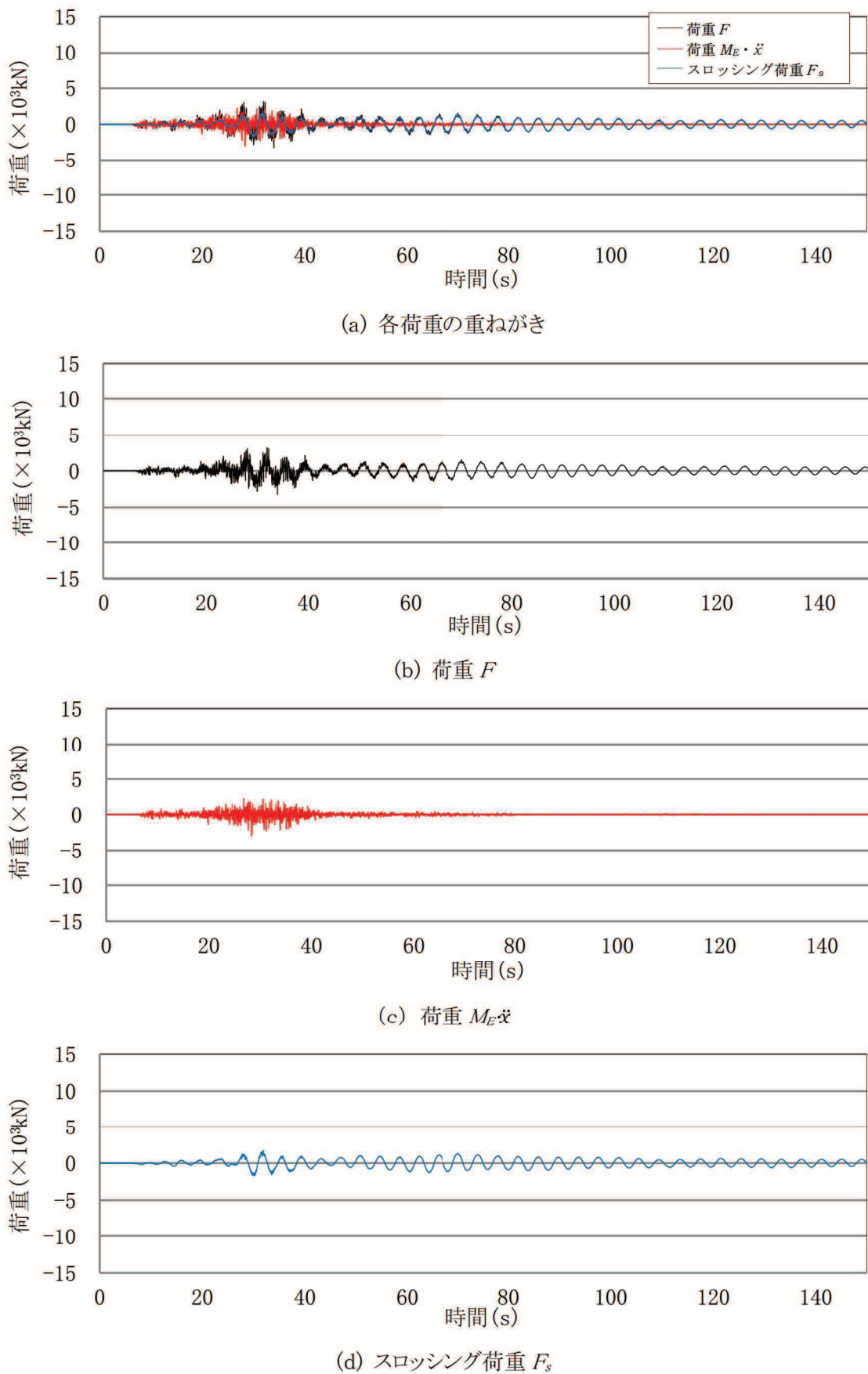
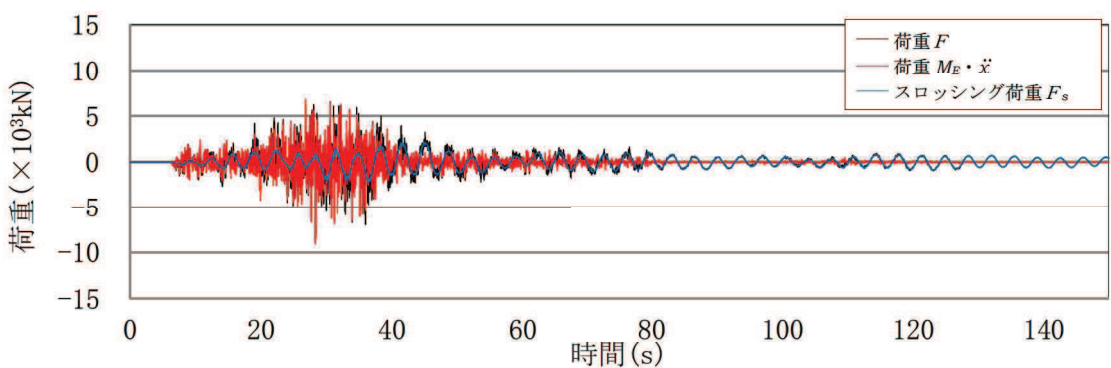
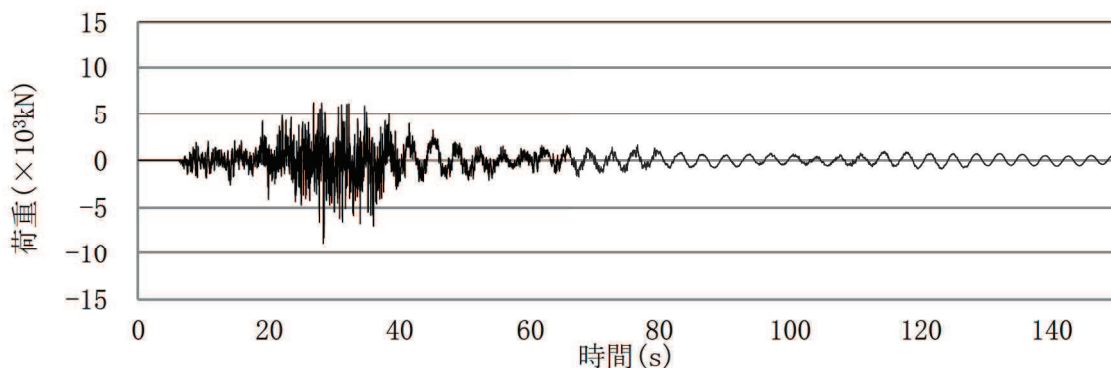


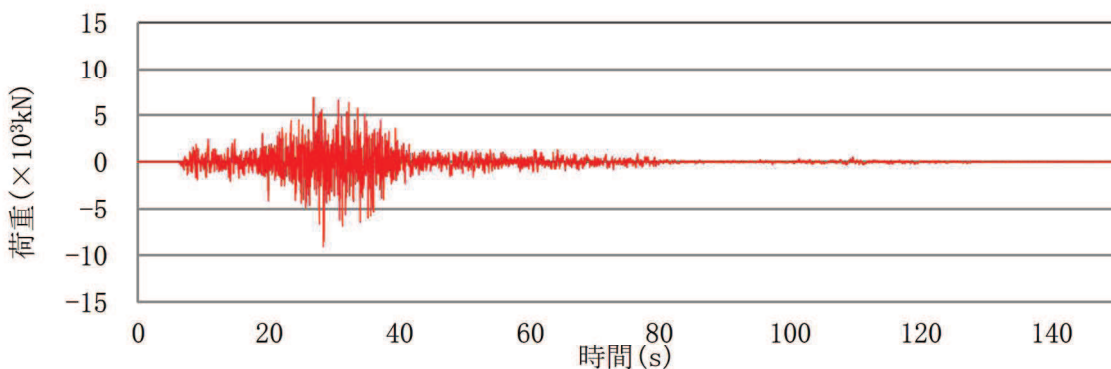
図 6 各荷重時刻歴(S s - F 2, 通常運転水位)



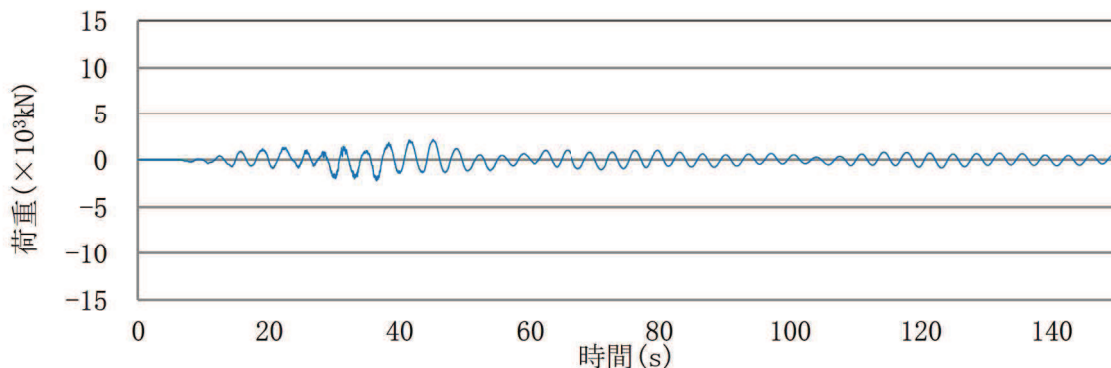
(a) 各荷重の重ねがき



(b) 荷重  $F$



(c) 荷重  $M_E \ddot{x}$



(d) スロッシング荷重  $F_s$

図 7 各荷重時刻歴(S s - F 2, 耐震評価用重大事故等時水位)

表3 スロッシング荷重による最大荷重及び  
流体解析で算出した荷重により算定した有効質量比

地震動	水位条件	最大荷重 ( $\times 10^3$ kN)	有効質量比
S s - D 1	通常運転水位	2.42	0.17
S s - D 2		1.39	0.17
S s - F 2		1.71	0.17
S s - D 1	耐震評価用 重大事故等時水位	2.91	0.28
S s - D 2		2.06	0.28
S s - F 2		2.24	0.28

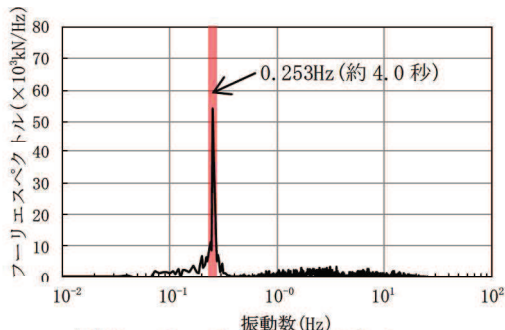


図8 フーリエスペクトル  
(S s - D 1, 通常運転水位)

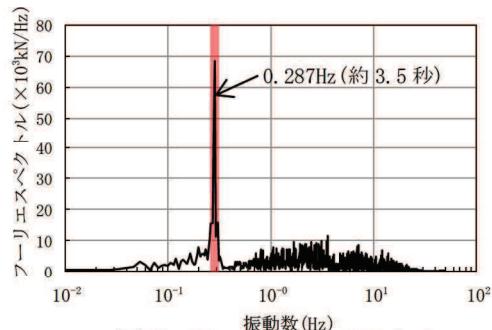
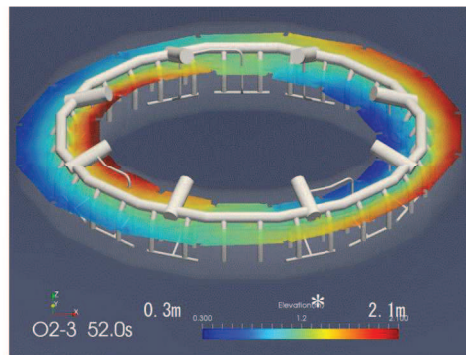


図9 フーリエスペクトル  
(S s - D 1, 耐震評価用重大事故等時水位)

表4 スロッシングの卓越周期

水位条件	卓越周期(s)
通常運転水位	約4.0秒
耐震評価用重大事故等時水位	約3.5秒



\* 色の違いは、水面高さの違いを表す。  
また、高さは、サプレッションチャンバ  
シェル中心位置を0mとしたものを表して  
おり、初期水位は、約1.2mである。

図10 スロッシング解析結果例  
(S s - D 1, 耐震評価用重大事故等時水位, 最大荷重発生時刻付近)

参考文献 [1] : Housner, G. W.: Nuclear Reactors And Earthquakes, TID Rep. 7024, 1963.

表5 サプレッションチェンバの地震荷重に対するスロッシング荷重の割合

項目	荷重 (N)
① サプレッションチェンバの地震荷重 (耐震評価用重大事故等時水位, S s - F 3 )	$9.163 \times 10^7$
② スロッシング荷重の最大値 (耐震評価用重大事故等時水位, S s - D 1 )	$2.91 \times 10^6$
②/①	約 3 (%)

### 3. 鉛直方向地震動による影響

鉛直方向地震動によるスロッシング荷重への影響について、地震動の入力条件を水平1方向  
+鉛直方向及び水平1方向のみとした場合のスロッシング荷重を比較し、確認する。

解析モデルは、2.1項と同じモデルを用いる。

#### 3.1 解析モデル

解析モデルは、2.1項と同じモデルを用いる。

#### 3.2 解析条件

入力地震動は、スロッシング荷重が最大となる S s -D 1 を用いる。また、水位条件は、ス  
ロッシング荷重が最大となる耐震評価用重大事故等時水位を用いる。解析条件を表 6 に示す。

表 6 解析条件（鉛直方向地震動）

項目	基本ケース	影響検討ケース
解析コード	OpenFOAM	同左
解析モデル	影響確認用解析モデル	同左
入力波	S s -D 1	同左
地震動の 入力方向	水平1方向 +鉛直方向	水平1方向
水位	耐震評価用 重大事故等時水位	同左

#### 3.3 影響検討結果

評価結果を表 7 に示す。評価結果から、スコッシング最大荷重は、基本ケースの方が 1 割程  
度大きく算出されているが、鉛直方向地震動の影響は小さいことを確認した。

また、基本ケースと影響検討ケースの有効質量比は、一致しており、鉛直方向の地震動によ  
る有効質量比への影響はないことを確認した。

表7 評価結果(鉛直方向地震動)

検討ケース	①基本ケース (水平1方向 +鉛直方向入力)	②影響検討ケース (水平1方向入力)	①/②
スロッシング 最大荷重 ( $\times 10^3$ kN) *	2.91	2.70	1.08
有効質量比	0.28	0.28	1.00

#### 4. 水平 2 方向入力による影響

水平 2 方向入力によるスロッシング荷重への影響について、地震動の入力条件を水平 1 方向 + 鉛直方向及び水平 2 方向 + 鉛直方向とした場合のスロッシング荷重を比較し、確認する。

##### 4.1 解析モデル

解析モデルは、2.1 項と同じモデルを用いる。

##### 4.2 解析条件

入力地震動は、スロッシング荷重が最大となる S s - D 1 を用いる。また、水位条件は、スロッシング荷重が最大となる耐震評価用重大事故等時水位を用いる。解析条件を表 8 に示す。

表 8 解析条件（水平 2 方向入力）

項目	基本ケース	影響検討ケース
解析コード	OpenFOAM	同左
解析モデル	影響確認用解析モデル	同左
入力波	S s - D 1	NS 方向 : S s - D 1 EW 方向 : 位相特性の異なる S s - D 1 *
地震動の入力方向	水平 1 方向 + 鉛直方向	水平 2 方向 + 鉛直方向
水位	耐震評価用 重大事故等時水位	同左

\* 位相特性の異なる S s - D 1 の作成方針等については、補足参照

##### 4.3 影響検討結果

評価結果を表 9 に、最大荷重発生時刻付近（52 秒時点）の変位コンター図を図 11 に示す。

水平 2 方向入力によるスロッシング荷重の影響について、基本ケース（合成荷重：水平 1 方向入力の最大荷重値の  $\sqrt{2}$  倍）に比べ、影響検討ケース（水平 2 方向入力の荷重時刻歴の最大値）は、やや小さいことを確認した。これは、水平 2 方向入力の影響により、スロッシング荷重が周方向へ分散していること及び EW 方向地震動の位相特性によるものと考えられる。また、水平 2 方向の入力方法を位相反転させた場合の影響は、サプレッションチェンバが円環形状（対称形状）であることから、スロッシング荷重への影響はないと考えられる。よって、サプレッションチェンバのスロッシング荷重評価は、基本ケースのとおり、入力地震動を水平 1 方向 + 鉛直方向とすることで保守的になることを確認した。

有効質量比は、基本ケースと影響検討ケースで一致しており、水平 2 方向入力による有効質量比への影響はないことを確認した。

なお、基本ケース及び影響検討ケースに対するスロッシング最大荷重発生時刻付近の変位コンター図は、ほぼ同様な分布、波高であり、大きな差異がないことを確認した。

表9 評価結果(水平2方向入力)

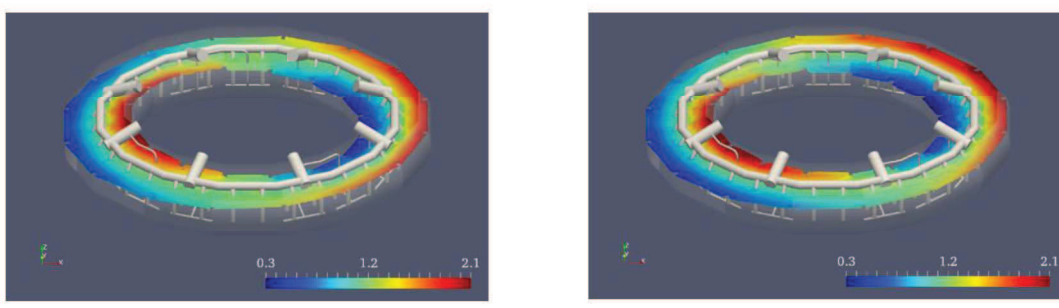
検討ケース		①基本ケース (水平1方向 入力)	②影響検討ケース (水平2方向入力)	①/②
スロッシング 最大荷重(MN) <sup>*1</sup>	NS	2.91	2.88 <sup>*2</sup>	1.01
	EW	-	2.76 <sup>*2</sup>	1.05
	合成荷重	4.12 <sup>*3</sup>	3.23 <sup>*4</sup>	1.28
有効質量比	NS	0.28	0.28	1.00
	EW		0.28	1.00

\*1 スロッシング最大荷重は、地震波に依存することから、今後作成する建屋応答に対するスロッシング荷重を確認する必要があるため暫定値

\*2 1方向成分(N S若しくはE W)のみに着目した場合の最大荷重

\*3 基本ケースの最大荷重の $\sqrt{2}$ 倍の荷重

\*4 時刻歴合成( $\sqrt{NS^2 + EW^2}$ )の最大荷重



①基本ケース  
(最大荷重発生時刻付近(52秒時点))

②影響検討ケース  
(最大荷重発生時刻付近(52秒時点))

\* 色の違いは、水面高さの違いを表す。  
また、高さは、サプレッションチャンバ  
シェル中心位置を0mとしたものを表して  
おり、初期水位は、約1.2mである。

図11 変位コンター図

## 5. 内部構造物による影響

内部構造物によるスロッシング荷重への影響について、解析モデルを主要な内部構造物までモデル化及び容器（強め輪を含む）のみをモデル化した場合のスロッシング荷重を比較し、確認する。

### 5.1 解析モデル

解析モデルを図 12 に、解析諸元を表 10 に示す。



図 12 解析モデル図

表 10 解析諸元

項目	内容
格子数	約 67 万
格子幅	約 3.5cm～45cm

### 5.2 解析条件

入力地震動は、スロッシング荷重が最大となる S s-D 1 とし、水平 1 方向 + 鉛直方向に入力する。また、水位条件は、スロッシング荷重が最大となる耐震評価用重大事故等時水位を用いる。解析条件を表 11 に示す。

表 11 解析条件（内部構造物）

項目	基本ケース	影響確認ケース
解析コード	OpenFOAM	同左
解析モデル	影響確認用解析モデル (内部構造物も含めてモデル化)	容器（強め輪を含む）のみ モデル化
入力波	S s-D 1	同左
地震動の 入力方向	水平 1 方向 + 鉛直方向	同左
水位	耐震評価用 重大事故等時水位	同左

### 5.3 影響検討結果

評価結果を表 12 に示す。評価結果から、スロッシング最大荷重は、基本ケースが影響確認ケースよりもやや小さく算出されることを確認した。これは、内部構造物によりスロッシングが抑制されることによるものと考えられる。

また、基本ケースと影響検討ケースの有効質量比は同等であり、内部構造物による有効質量比への影響がないことを確認した。

表 12 評価結果（内部構造物）

検討ケース	①基本ケース (内部構造物も含めて モジュル化)	②影響検討ケース (容器(強め輪を含 む)のみモジュル化)	①/②
スロッシング 最大荷重 (MN) *	2.91	3.06	0.95
有効質量比	0.28	0.28	1.00

\* スロッシング最大荷重は、地震波に依存することから、今後作成する建屋応答に対するスロッシング荷重を確認する必要があるため暫定値

## (補足)

### 位相特性の異なる模擬地震波

#### 1. 概要

水平2方向及び鉛直方向地震力の同時入力による影響検討を行う際にサブレッシュンチエンバのスロッシング解析にはスロッシング荷重が大きく算定されるS s-D 1を代表波として用いている。この際、水平1方向には、S s-D 1を用いるが、その直交方向にはS s-D 1とは位相特性の異なる模擬地震波を用いている。

ここでは、S s-D 1の直交方向の模擬地震波について示す。

#### 2. 基準地震動S sの水平方向に組み合わせる地震動の作成方針

S s-D 1とは位相特性の異なる模擬地震波は、「補足-600-5 水平2方向及び鉛直方向の適切な組合せに関する検討について」における水平2方向及び鉛直方向地震力の組合せの影響評価に用いる模擬地震波等の作成方針に基づき作成されたものである。

#### 3. スロッシング解析に用いる入力波

スロッシング解析に用いる入力波は、S s-D 1及びS s-D 1と位相特性の異なる模擬地震波を用いて、建屋応答解析を実施し、得られた応答加速度時刻歴を用いている。

応答加速度時刻歴波形を図1及び図2に、それぞれの地震波を2方向入力した場合の建屋応答加速度のオービットを図3に、床応答加速度スペクトルを図4に示す。

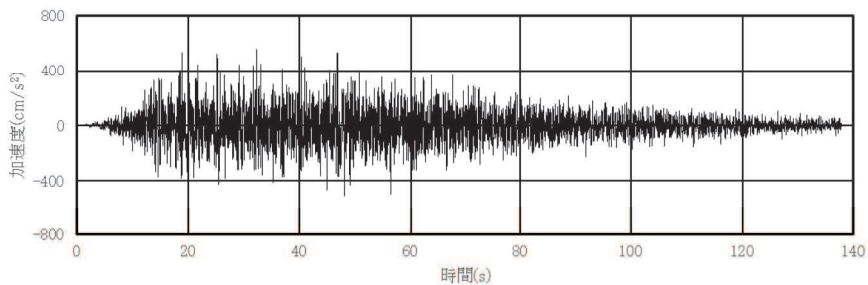


図1 S s-D1の応答加速度時刻歴波形

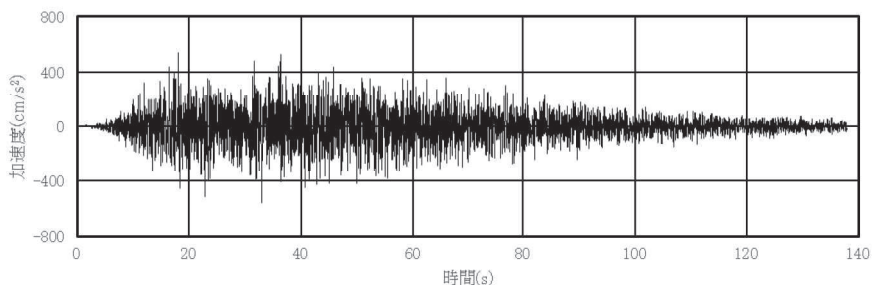


図2 S s-D1と位相特性の異なる模擬地震波の応答加速度時刻歴波形

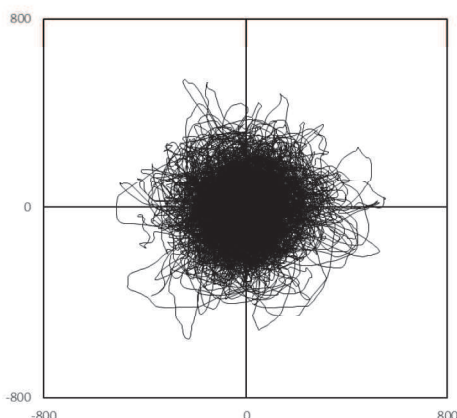


図3 S s-D1による建屋応答加速度のオービット

(位相が異なる地震波を2方向入力した場合)

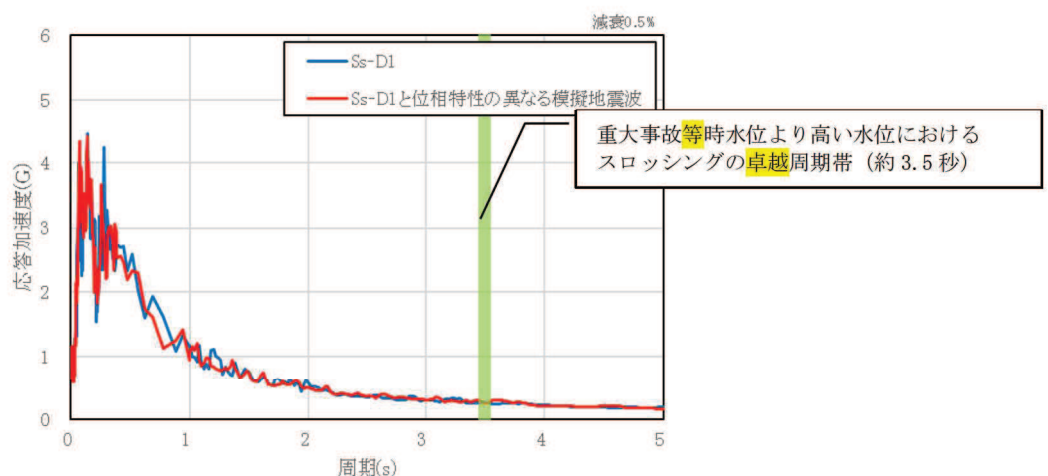


図4 床応答加速度スペクトル

## 規格基準における有効質量比との比較

### 1. はじめに

本資料は、NASTRAN による有効質量比算出の妥当性を確認するため、容器構造設計指針・同解説（2010 年 3 月改訂版）（以下「容器指針」という。）に記載されている球形タンク及び円筒タンクの有効質量比と NASTRAN による有効質量比の算出結果の比較検討を行う。

### 2. 解析結果

#### (1) 球形タンク

NASTRAN の解析モデルを図 1、解析モデル諸元を表 1、NASTRAN による有効質量比の算出結果及び容器指針における球形タンクの有効質量比を図 2 に示す。

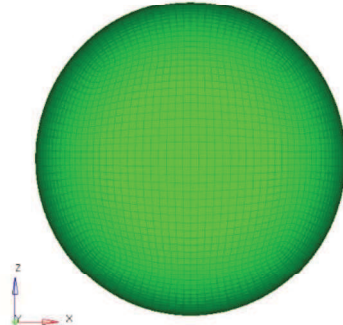


図 1 球形タンク解析モデル

表 1 球形タンク解析モデル諸元

半径	0.5m
メッシュ数	約 5400

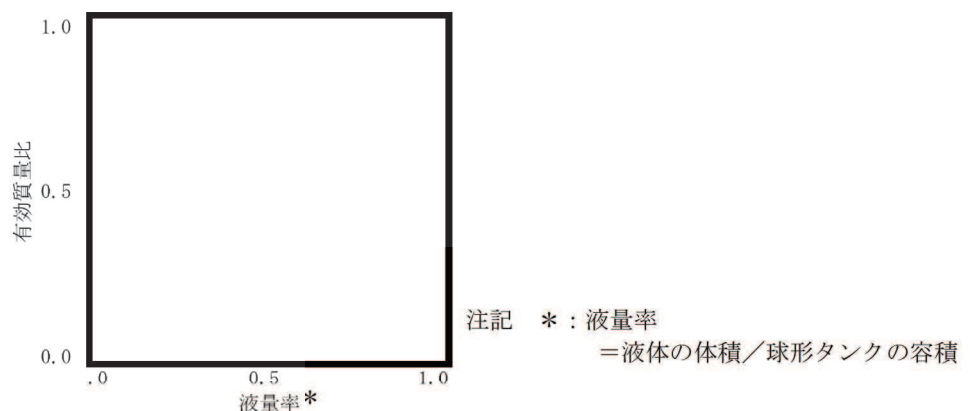


図 2 球形タンクの有効質量比